

مطالعه کمی و کیفی آنتوسیانین‌ها و فلاونول‌ها در پوست حبه چند رقم انگور با استفاده از (HPLC) کروماتوگرافی مایع با کارآیی بالا

مریم پژمان‌مهر^۱، علی عبادی^{۲*}، امیر موسوی^۳، آماندا ر. والکر^۴، علیرضا رحیمی^۲

- ۱- استادیار، گروه علوم باغبانی، دانشگاه آزاد اسلامی واحد علوم و تحقیقات، تهران، ایران
۲- استاد و کارشناس ارشد، گروه مهندسی علوم باغبانی و فضای سبز، پردیس کشاورزی و منابع طبیعی
دانشگاه تهران، کرج، ایران
۳- دانشیار، پژوهشگاه مهندسی ژئوتکنیک و بیوتکنولوژی، تهران، ایران
۴- استاد مؤسس CSIRO، ادلاید، استرالیا
*آدرس مکاتبه: کرج، پردیس کشاورزی و منابع طبیعی دانشگاه تهران، گروه مهندسی علوم باغبانی و فضای سبز،
صندوق پستی: ۳۲۲۴۸۷۲۱، تلفن: ۰۲۶ ۳۲۲۴۸۷۲۱، نمبر: ۰۲۶ ۳۲۲۴۸۷۲۱
پست الکترونیک: aebadi@ut.ac.ir

تاریخ تصویب: ۹۴/۳/۲۰

تاریخ دریافت: ۹۳/۱/۱۶

چکیده

مقدمه: میوه انگور به دلیل دارا بودن انواع فلاونوئیدها از جمله آنتوسیانین‌ها و فلاونول‌ها از ارزش غذایی دارویی بالایی برخوردار است که نوع و درصد ترکیبات تحت تأثیر ژنتیک و شرایط محیطی قرار می‌گیرد.

هدف: بررسی آنتوسیانین‌ها و فلاونول‌ها در چند رقم مهم انگور با طیف رنگ متنوع.

روش بررسی: پوست حبه ارقام انگورآب، بیدانه قرمز، فخری قرمز، موسکات هامبورگ، فیلم سیدلز، سرخک و آش سیاه شیراز بوسیله حلal آبی متانولی عصاره‌گیری شد. ترکیب آنتوسیانین‌ها و فلاونول‌ها با استفاده از HPLC مورد بررسی قرار گرفت.

نتایج: بیشترین مقدار آنتوسیانین کل ۰/۴۴٪ (آش سیاه شیراز) و فلاونول کل ۰/۰۶٪ (انگور آب) میلی‌گرم درصد گرم بود. بیشترین مقدار سیانیدین در بیدانه قرمز ۹۱/۶٪ درصد، پئونیدین در فخری قرمز ۹۱/۴٪ درصد، دلفینیدین در فیلم سیدلز ۴/۹٪ درصد، مالویدین در سرخک ۸۷/۷٪ درصد و پتونیدین در موسکات هامبورگ ۴/۴٪ درصد مشاهده شد. کوئرستین ترکیب فلاونولی غالب (۶۱/۲٪) درصد در آش سیاه شیراز تا ۸۷/۳٪ درصد در موسکات) در تمام ارقام بود. بیشترین مقدار لاریستین در سرخک (۱۶/۷٪ درصد)، میریستین در آش سیاه شیراز (۲۸/۴٪ درصد) و کالمفروول در فیلم سیدلز (۲۱/۴٪ درصد) و ایزورامتین در فخری قرمز (۱۴/۴٪ درصد) مشاهده شد. همچنین تخمین فعالیت هیدروکسیلاسیون و متیلاسیون نشان داد که برای هر دو، آنتوسیانین‌ها سوبستراهای بهتری نسبت به فلاونول‌ها می‌باشد.

نتیجه‌گیری: ارقام انگور مورد مطالعه از نظر محتوا، نوع و نسبت آنتوسیانین‌ها و فلاونول‌ها و الگوی هیدروکسیلاسیون و متیلاسیون آنها متفاوت بودند. این امر منجر به تفاوت در ارزش غذایی- دارویی و بویژه اثرات آنتی‌اکسیدانی، پایداری، حلالیت و ویژگی‌های رنگ آنها می‌شود.

گل واژگان: آنتوسیانین، انگور، فلاونول، HPLC



مقدمه

هیدروکسیله می شود [۸-۷]. متیلاسیون آنتوسیانین‌ها و فلاونول‌ها توسط آنزیمهای متیل ترنسفراز صورت می‌گیرد که منجر به پایداری حلقه B می‌شود، در نتیجه واکنش پذیری مولکول را کاهش و حلالیت آن را در آب افزایش داده و بنابراین ویژگی‌های رنگ آن را تقویت می‌کند [۶]. از طریق محاسبه فعالیت کلی هیدروکسیلاسیون و متیلاسیون، آگاهی از میزان فعالیت و ارتباط سه آنزیم کلیدی ذکر شده در بیوسترن آنتوسیانین‌ها و فلاونول‌ها در ارقام مختلف انگور امکان‌پذیر است [۹].

آنتوسیانین‌های موجود در انگور شامل سیانیدین، پئونیدین، دلفینیدین، پتونیدین و مالویدین می‌باشند که در دو فرم ۳-۱- مونو گلوکوزیدها و ۳-۱- آسیل مونو گلوکوزیدها هستند که اثرات دارویی متعدد برای آنها گزارش شده است [۲، ۱]. فلاونول‌ها دسته دیگری از فلاونوئیدها هستند که در انگور به صورت گلوکوزید، گالاكتوزید و گلوکورونید در پوست حبه سنتز می‌شوند. فلاونول‌های مهم در پوست انگورهای قرمز شامل کوئرستین، میریستین، کامافرول، لاریستین، ایزورامتین، سیرینجتین و در انگورهای سفید شامل کوئرستین، کامافرول و ایزورامتین می‌باشند [۹-۱۲]. این فلاونول‌ها نقش مهمی از نظر تغذیه‌ای دارند و ترکیبات فعال بیولوژیک هستند که اثرات دارویی متعدد آنها ثابت شده است [۲].

تأثیر رقم و شرایط محیطی بر ترکیب آنتوسیانین‌ها و فلاونول‌ها در انگوره، ارزش تغذیه‌ای و دارویی آن را نیز تحت تأثیر قرار می‌دهد [۱۲]. تنوع آنتوسیانین‌ها و فلاونول‌ها در ارقام مختلف انگور با استفاده از آنالیز کروماتوگرافی مایع با HPLC (High Performance Liquid) کارآیی بالا (Chromatography) گزارش شده است. کاستیلو مانوز (Castillo-Munoz) و همکاران [۱۳] طیف فلاونول‌ها در ۷ رقم انگور قرمز را مطالعه نموده و نتیجه‌گیری کردند که تنوع در نوع و درصد ترکیبات، بین ارقام قابل توجه بوده و آنها را از یکدیگر متمایز می‌نماید. کوک پاپینی (Cook-Papini) و همکاران [۱۴] تنوع ژنتیکی در ترکیب آنتوسیانین‌های ارقام مختلف انگور را گزارش نمودند.

ارقام انگور کشت شده در ایران تاکنون از نظر کمیت و

انگور گیاهی از خانواده Vitaceae و جنس *Vitis* است که اکثر ارقام تجاری آن متعلق به گونه *V. vinifera* می‌باشد. حضور اسیدهای آلی، قندها و ترکیبات معطر در گوشت میوه، ترکیبات آنتوسیانینی، تانن‌ها، فلاونول‌ها و ترکیبات معطر در پوست، و تانن‌ها و روغن در بذر انگور موجب شده تا این گیاه اهمیت بالایی از نظر غذایی و دارویی داشته باشد [۱]. عصاره‌های به بالای امده از تفاله حاصل از فراوری انگور نیز در ساخت فراورده‌ها و مکمل‌های غذایی دارویی مختلف مورد استفاده قرار می‌گیرند [۱-۳]. به همین جهت در چند دهه اخیر تحقیقات گسترشده‌ای در زمینه این ترکیبات صورت گرفته تا بتوان با استفاده از آنها کیفیت دارویی و غذایی انگور و فراورده‌های آنرا از طریق کاهش یا افزایش ترکیبات خاص بهبود بخشید.

فلاونوئیدها از مهم‌ترین ترکیبات موجود در انگور می‌باشند که عمداً در پوست و بذر آن تجمع می‌یابند [۱]. فلاونوئیدها شامل ۴ گروه اصلی آنتوسیانین‌ها، فلاونول‌ها، فلاوان-۳-آل و تانن‌ها (پروآنتوسیانیدین‌ها) بوده و تعیین کننده رنگ، کیفیت و خواص دارویی انگور می‌باشند [۴]. فلاونوئیدهای انگور و فراورده‌های آن اثرات سودمند بر بیماری‌های قلبی-عروقی، گرفتگی عروق و برخی ناهنجاری‌های متابولیکی دارند و می‌توانند به دلیل اثرات آنتی‌اکسیدانی از بروز سرطان جلوگیری نمایند [۵]. هسته فلاوان اساس ساختار شیمیایی فلاونوئیدها است و شامل ۱۵ اتم کربن قرار گرفته در ۳ حلقه (C₆-C₃-C₆) می‌باشد که ۲ حلقه آромاتیک (A و B) در ترکیب با حلقه هترو سیکلیک (C) با سه اتم کربن (یک حلقه پیران و اجد اکسیژن)، می‌باشند [۶].

الگوی هیدروکسیلاسیون و متیلاسیون حلقه B یکی از خصوصیات ساختاری اصلی فلاونوئیدها است و شاخص مهمی در رنگ، پایداری و ظرفیت آنتی‌اکسیدانی آنها می‌باشد [۷]. هیدروکسیلاسیون در موقعیت ۳' یا ۳' و ۵' حلقه B توسط آنزیم‌های فلاونوئید-۳'-هیدروکسیلاز (F3'H) و فلاونوئید ۳' و ۵'-هیدروکسیلاز (F3'5'H)، منجر به ایجاد آنتوسیانین‌ها، فلاونول‌ها، فلاوان‌ها و پروآنتوسیانیدین‌های



شده استاندارد [۱۶] عمل شد. سیصد میکرولیتر حلال ۵۰ درصد حجمی متابول در آب به هر نمونه اضافه شده و جهت سونیکاسانیون به مدت ۲۰ دقیقه در دستگاه سونیک قرار گرفتند. سپس نمونه‌ها به مدت ۱۰ دقیقه با دور ۱۳۰۰۰ در دقیقه ساتریفیوژ شدند. در ادامه ۲۰۰ میکرولیتر از روشنایور در ویال‌های نمونه‌بردار خودکار (autosampler) (دستگاه HPLC) ریخته شد. حجم تزریق در هر آنالیز ۲۵ میکرولیتر بود.

جداسازی و آنالیز آنتوسیانین‌ها و فلاونول‌ها با HPLC

برای جداسازی و آنالیز آنتوسیانین‌ها و فلاونول‌ها بوسیله HPLC طبق روش دونی (Downey) و رچرفت (Rochfort) [۱۷]. از گرادیان اسید فرمیک ۱۰ درصد در آب (حلال الف) با اسید فرمیک ۱۰ درصد در متابول (حلال ب) با شدت جریان ۱ میلی‌لیتر در دقیقه استفاده شد. طی آنالیز دمای ستون در ۴۰ درجه سانتی‌گراد حفظ شد. ستون مورد استفاده C-18 SS Wakosil ۱۵۰ mm×4.6mm, 3µm (packaging; SGE, Ringwood, Australia Hewlett Packard HP1100 HPLC مورد استفاده (Agilent, Mulgrave, Australia) بودند. شرایط گرادیان به صورت زیر بود: دقیقه صفر، ۱۸ درصد حلال ب؛ دقیقه ۴، ۲۹ درصد حلال ب؛ دقیقه ۱۶، ۳۲ درصد حلال ب؛ دقیقه ۱۸، ۴۱ درصد حلال ب؛ دقیقه ۱۸/۱، ۳۰ درصد حلال ب؛ دقیقه ۲۹، ۴۱ درصد حلال ب؛ دقیقه ۳۲، ۵۰ درصد حلال ب؛ دقیقه ۳۴/۵ ۱۰۰ درصد حلال ب؛ دقیقه ۱۸، ۳۵-۳۸ درصد حلال ب.

روش برای استاندارد کوئرستین-۳-۳-آ-گلوکوزید روشی تکرارپذیر و معتبر بود به صورتی که در محدوده ۰/۰۰۰۱ تا یک میلی‌گرم بر میلی‌لیتر معادله خطی و رگرسیون خطی برابر با ۰/۹۹۹۴ بود. همچنین برای استاندارد مالوییدین-۳-۳-آ-گلوکوزید در محدوده ۰/۰۵ تا ۱ میلی‌گرم بر میلی‌لیتر معادله خطی بوده و رگرسیون خطی برابر با ۰/۹۹۸۲ بود. آنتوسیانین‌ها و فلاونول‌ها به ترتیب در طول موج ۵۲۰ و ۳۵۳ نانومتر بوسیله دتکتور فتودیوود تشخیص و ردیابی شدند [۱۸]. با مقایسه طیف استانداردهای تجاری مانند مالوییدین-۳-۳-آ-گلوکوزید، سیانیدین-۳-۳-آ-گلوکوزید و کوئرستین-۳-۳-آ-

کیفیت آنتوسیانین‌ها و فلاونول‌ها چندان مورد بررسی قرار نگرفته‌اند. در تحقیق حاضر چند رقم مهم انگور کشت شده در ایران با طیف رنگی متنوع، از این نظر مورد مطالعه و مقایسه قرار گرفته‌اند تا با استفاده از نتایج بتوان ارقام انگور را به صورت هدفمند در صنایع غذایی و دارویی مورد استفاده قرار داد و همچنین در جهت بهبود صفات مربوط به آب انگور، مانند شدت و پایداری رنگ برنامه‌ریزی نمود.

مواد و روش‌ها

مواد گیاهی و شیمیایی

در این مطالعه ارقام انگورآب، بیدانه قرمز، فخری قرمز، موسکات هامبورگ، فلیم سیدلس، سرخک و آش سیاه شیراز کشت شده در کلکسیون انگور مرکز تحقیقات گروه علوم باگبانی پردیس کشاورزی و منابع طبیعی کرج واقع در جاده محمد شهر مورد بررسی قرار گرفتند. بر اساس دیسکریپتور انگور [۱۵] ارقام انگورآب به رنگ سبز مایل به زرد (کد ۱)، بیدانه قرمز به رنگ قرمز روشن (کد ۲)، فخری قرمز به رنگ قرمز (کد ۳)، موسکات هامبورگ به رنگ قرمز مایل به بنفش متوسط (کد ۸)، فلیم سیدلس به رنگ قرمز مایل به بنفش تیره (کد ۵)، سرخک به رنگ آبی تیره (کد ۶) و آش سیاه به رنگ (کد ۷) هستند. جبه‌ها از هر رقم در دامنه بریکس ۱۸ تا ۲۰ برداشت و پس از قرار گرفتن در دمای پایین به آزمایشگاه منتقل شدند. پوست جبه‌ها بالا فاصله جدا و بوسیله دستگاه لایوفیلایزر خشک شدند. جهت استخراج و آنالیز آنتوسیانین‌ها و فلاونول‌ها، نمونه‌های خشک شده به آزمایشگاه بخش علوم باگبانی، موسسه CSIRO در ادلاید استرالیا منتقل شدند.

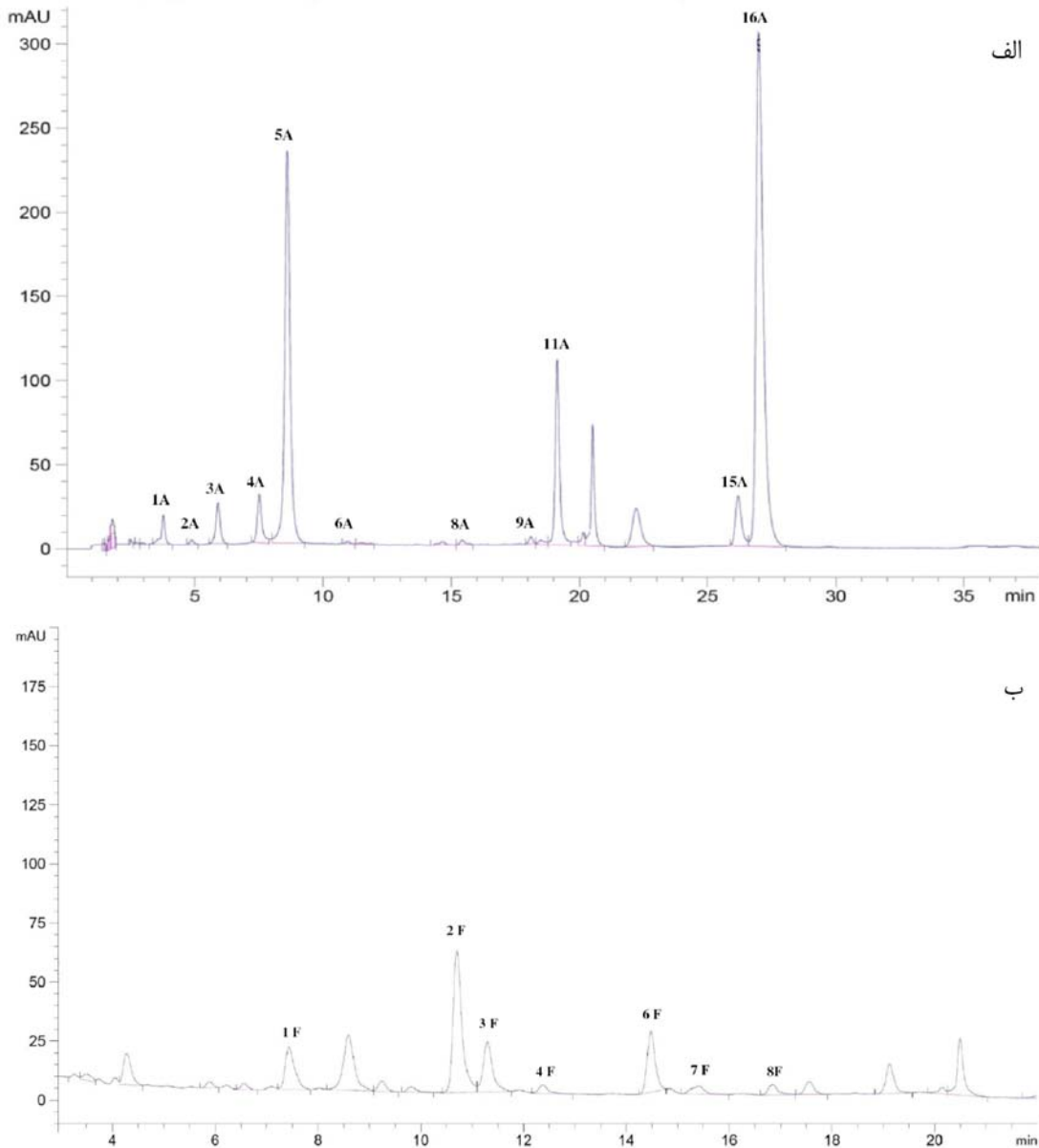
ترکیبات استاندارد مالوییدین-۳-۳-آ-گلوکوزید، سیانیدین-۳-آ-گلوکوزید و کوئرستین-۳-۳-آ-گلوکوزید از شرکت Extrasynthase فرانسه تهیه شدند. تمام مواد شیمیایی و حلال‌ها دارای درجه خلوص مخصوص HPLC بودند.

تهیه عصاره

صد میلی‌گرم از پوست جبه هر رقم پودر شده و در سه تکرار عصاره‌گیری شد. جهت تهیه عصاره بر اساس روش بهینه

حاصل از آنالیز آنتوسباین‌ها و فلاونول‌ها در شکل شماره ۱ نشان داده شده است.

گلوكوزید، آنتوسباین‌ها و فلاونول‌ها شناسایی شدند. همچنین برای شناسایی آنها از نتایج گزارش شده برای زمان بازداری در گزارش‌های قبلی استفاده شد [۱۹، ۱۷، ۱۰]. کروماتوگرام



شکل شماره ۱ - کروماتوگرام HPLC آنتوسباین‌ها (۵۲۰ نانومتر) (الف) و فلاونول‌های (۳۵۳ نانومتر) (ب) موجود در پوست حبه انگور رقم سرخ ک (نام ترکیب منطبق با هر پیک در جدول‌های شماره ۱ و ۳ ذکر شده است).

تجزیه داده‌ها

جهت آنالیز کلاستر ارقام انگور مورد مطالعه بر مبنای فواصل اقیلیدوسی حاصل از داده‌های آنتوسيانین‌ها و فلاونوئیدها، از نرم‌افزار SPSS ver. 16 استفاده شد.

محاسبه فعالیت هیدروکسیلاسیون و متیلاسیون

فعالیت هیدروکسیلاسیون (F3'5'H) و متیلاسیون (F3'5'OMT) توسط آنزیم‌های مشترک و کلیدی در مسیر بیوستر آنتوسيانین‌ها و فلاونول‌ها انجام می‌گیرد که میزان فعالیت آنها به کمک فرمول‌های زیر محاسبه شد [۹].

فعالیت F3'5'H در مسیر بیوستر آنتوسيانین‌ها

$$\frac{3',5' - \text{dihydroxy}}{3' - \text{hydroxy}}$$

$$\frac{\text{delphinidin } 3 - \text{glucoside} + petunidin }{\text{cyanidin } 3 - \text{glucoside} + peonidin } \frac{3 - \text{glucoside} + malvidin }{3 - \text{glucoside}}$$

فعالیت F3'5'H در مسیر بیوستر فلاونول‌ها

$$\frac{3',5' - \text{dihydroxy}}{3' - \text{hydroxy}} = \frac{\text{myricetin} + laricitrin + syringetin}{\text{queretin} + isorhamnetin}$$

فعالیت 3'OMT در مسیر بیوستر آنتوسيانین‌ها

$$\frac{3' - \text{methoxy}}{3' - \text{hydroxy}} = \frac{\text{peonidin } 3 - \text{glucoside}}{\text{cyanidin } 3 - \text{glucoside}}$$

فعالیت 3'OMT در مسیر بیوستر فلاونول‌ها

$$\frac{3' - \text{methoxy}}{3' - \text{hydroxy}} = \frac{\text{isorhamnetin}}{\text{queretin}}$$

فعالیت 5'OMT در مسیر بیوستر آنتوسيانین‌ها

$$\frac{3',5' - \text{methoxy}}{3',5' - \text{hydroxy}} = \frac{\text{malvidin } 3 - \text{glucoside}}{\text{delphinidin } 3 - \text{glucoside}}$$

فعالیت 5'OMT در مسیر بیوستر فلاونول‌ها

$$\frac{3',5' - \text{methoxy}}{3',5' - \text{hydroxy}} = \frac{\text{syringetin}}{\text{myricetin}}$$

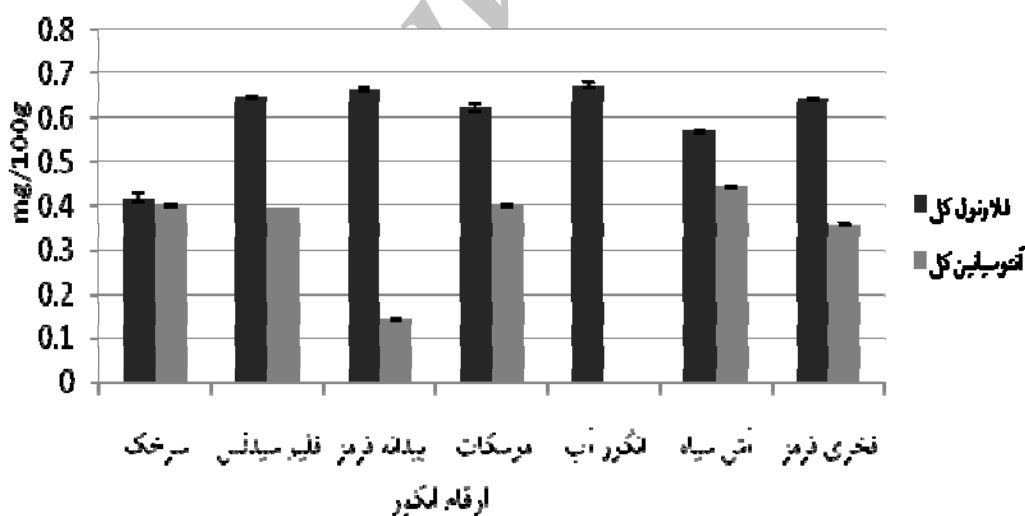


نتایج

بررسی کمیت و کیفیت آنتوسبینین‌ها

محتواهی آنتوسبینین کل در بین ارقام رنگی انگور از ۰/۱۴ (میلی گرم در ۱۰۰ گرم) در بیدانه قرمز تا ۰/۴۴ در آش سیاه شیراز متفاوت بود (شکل شماره ۲). از بین آنتوسبینین‌های بررسی شده، بیشترین مقدار سیانیدین در بیدانه قرمز (۹۱/۶ درصد)، پئونیدین در فخری قرمز (۹۱/۴۳ درصد)، دلفینیدین در فلیم سیدلس (۴/۹۵ درصد)، مالویدین در سرخک (۸۷/۶۹ درصد) و پتونیدین در انگورهای موسکات هامبورگ (۴/۳۶ درصد) و فلیم سیدلس (۴/۳۲ درصد) بود. همان‌طور که انتظار می‌رفت، در انگورآب که یک رقم سیز مایل به زرد می‌باشد هیچ نوع آنتوسبینینی یافت نشد (جدول‌های شماره ۱ و ۲).

گروه‌بندی بر اساس ترکیبات آنتوسبینینی، ارقام مورد مطالعه را در سه دسته کلی قرار داد (شکل شماره ۳-الف). ارقام آش سیاه شیراز، فخری قرمز، فلیم سیدلس و موسکات هامبورگ در دسته اول قرار گرفتند. در آش سیاه شیراز و فخری قرمز که در یک زیرگروه بودند، درصد پئونیدین بالایی مشاهده شد (به ترتیب ۷۴/۶۸ و ۹۱/۴۳ درصد) و در هر دو سهم بالایی از



شکل شماره ۲ - مقدار آنتوسبینین و فلاونول کل در بین ارقام مختلف انگور

جدول شماره ۱- میانگین مقدار آنتوسبانین‌ها (درصد سطح زبر مهضنی) در بین ارقام مختلف انگور

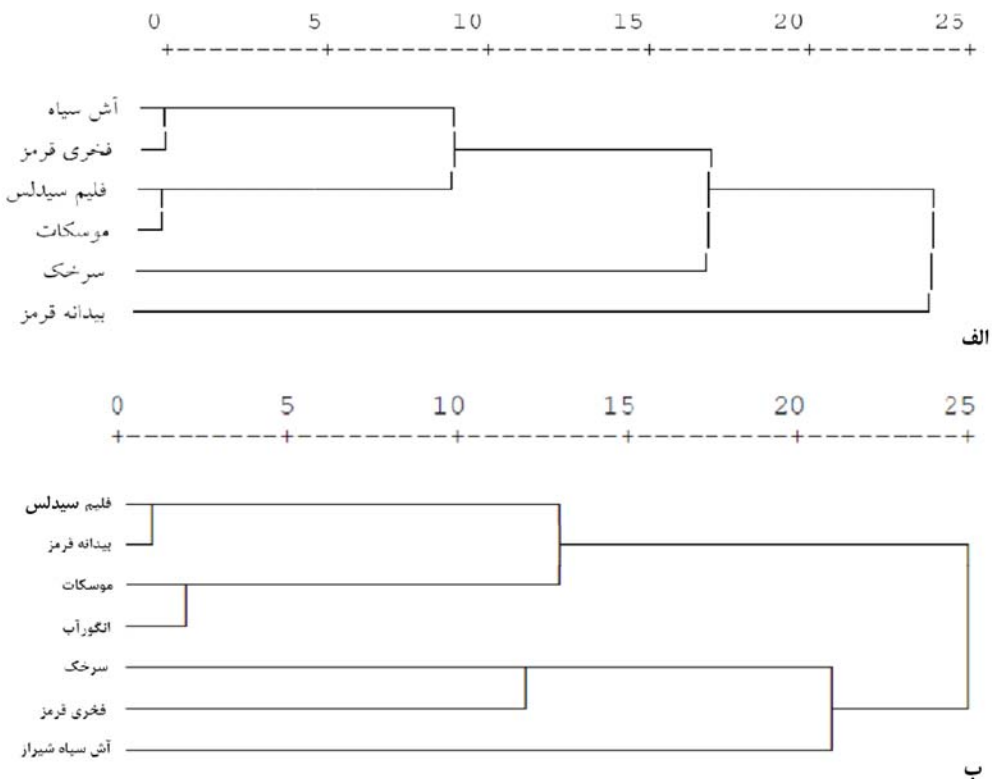
ردیف	نوع آنتوسبانین	پیک	سرخی	فلیم سیدلنس	بیدانه قرمه	موسکات	انگور آب	آش سیاه شیراز	قرمز خوش قرمه
۱	Delphinidin-3-O-glucoside	۱۷۳۶	۲۸۲۵	•/•	۲/۷۷	-	-	۱/۲۷	•/•
۲	Cyanidin-3-O-glucoside	•/۲۲	۸/۶۳	۲۸/۰۸	۷/۹۲	-	-	۵/۶۳	•/•
۳	Petunidin-3-O-glucoside	۲/۱۳	۲/۷۷۲	•/•	۲/۸*	-	-	۱/۸۷	•/•
۴	Peonidin-3-O-glucoside	۲/۵۵	۲۱/۹۹	۲/۹۵	۲۸/۸*	-	-	۹۹/۱۹	۹۴/۰۳
۵	Malvidin-3-O-glucoside	۲۴/۰۷	۲۴/۷۴	•/•	۳۹/۳۳	-	-	۱۴/۸۱	۴/۸۱
۶	Delphinidin-3-O-acetyl glucoside	•/۱۴	•/•	•/•	•/•	-	-	•/•	•/•
۷	Cyanidin-3-O-acetyl glucoside	•/•	•/•	•/•	•/•	-	-	•/•	•/•
۸	Petunidin-3-O-acetyl glucoside	•/۳۴	•/•	•/•	•/•	-	-	•/•	•/•
۹	Peonidin-3-O-acetyl glucoside	•/۳۸	•/۵۵	•/•	•/•	-	-	•/•	•/•
۱۰	Petunidin-(6-O-Caffeoyl) glucoside	•/•	•/•	•/•	•/•	-	-	•/•	•/•
۱۱	Malvidin-3-O-acetyl glucoside	۹/۴۲	۰/۹۲	•/•	•/•	•/•	-	•/•	•/•
۱۲	Delphinidin-3-(6-O-coumaroyl) glucoside	-	-	-	-	-	-	-	-
۱۳	Group of anthocyanins	-	-	-	-	-	-	-	-
۱۴	Petunidin-3-(6-O-coumaroyl) glucoside	-	-	-	-	-	-	-	-
۱۵	Peonidin-3-(6-O-coumaroyl) glucoside	۲/۷۵	۷/۰۱	•/•	۱/۹۵	-	-	۱/۹۹	۷/۲۱
۱۶	Malvidin-3-(6-O-coumaroyl) glucoside	۲۳/۷۲۷	۲/۷۴۹	•/•	۲/۷۰	-	-	•/•	۱/۰۰



جدول شماره ۲- مقادیر گروهی مختلف آنتسپاکن‌ها (درین اقام) در بین اینکر

ردیف	آنتسپاکن	سرخ	فیلم سپیدل	پیمانه قرمز	موسکات	انگور آب	آش سپاه شیراز	نخاع قرمز
		آنچه تبره	قرمز مایل به بنفش متوسط	قرمز روشن	قرمز مایل به بنفش تبره	سیاه مایل به زرد	قرمز سیاه	قرمز
Cyanidin	۰/۲۵۱±۰/۱۰۱*	۱/۱۰۹۳±۰/۰۵۶	۱/۱۰۹۷±۰/۰۲۶	۰/۱۰۹۷±۰/۰۳۳	-	-	۰/۱۸۸±۰/۰۲۲	۰/۱۹۲±۰/۰۳۳
Peonidin	۰/۰۵۱±۰/۱۸	۰/۰۶۳۳±۰/۱۱۱	۰/۰۴۳۴±۰/۰۲۶	۰/۰۴۳۴±۰/۰۲۹	-	-	۰/۱۴۰±۰/۰۷۴	۰/۱۴۰±۰/۰۷۴
Delphinidin	۱/۱۷۱±۰/۰۳۳	۰/۰۴۶۶±۰/۰۳۰	۰/۰۴۶۶±۰/۰۳۰	۰/۰۴۶۶±۰/۰۳۰	-	-	۰/۱۳۲±۰/۰۱۰	۰/۰
Malvidin	۰/۰۷۶±۰/۰۴۰	۰/۰۶۰۰±۰/۰۱۷	۰/۰۶۰۰±۰/۰۱۷	۰/۰۶۰۰±۰/۰۱۷	-	-	۰/۱۶۱±۰/۰۱۹	۰/۱۶۱±۰/۰۱۹
Petunidin	۰/۰۸۴±۰/۰۴۹	۰/۰۷۲۱±۰/۰۱۹	۰/۰۷۲۱±۰/۰۱۹	۰/۰۷۲۱±۰/۰۱۹	-	-	۰/۱۵۳±۰/۰۱۰	۰/۰
Dihydroxylated	۰/۰۷۷۳±۰/۰۲۸	۰/۰۵۷۲۱±۰/۰۱۶	۰/۰۵۷۲۱±۰/۰۱۶	۰/۰۵۷۲۱±۰/۰۱۶	-	-	۰/۱۲۹±۰/۰۱۰	۰/۱۲۹±۰/۰۱۰
Trihydroxylated	۰/۰۲۲۸±۰/۰۲۸	۰/۰۳۲۱۸±۰/۰۱۶	۰/۰۳۲۱۸±۰/۰۱۶	۰/۰۳۲۱۸±۰/۰۱۶	-	-	۰/۱۶۰±۰/۰۱۹	۰/۱۶۰±۰/۰۱۹
Glucoside	۰/۰۶۶۹۸±۰/۰۱۸	۰/۰۹۲۰۱±۰/۰۱۶	۰/۰۹۲۰۱±۰/۰۱۶	۰/۰۹۲۰۱±۰/۰۱۶	-	-	۰/۱۲۴±۰/۰۱۰	۰/۱۲۴±۰/۰۱۰
Acetylglucoside	۰/۰۷۳۰۰±۰/۰۰۷	۰/۰۷۰۰۰±۰/۰۰۵	۰/۰۷۰۰۰±۰/۰۰۵	۰/۰۷۰۰۰±۰/۰۰۵	-	-	۰/۰۹۴±۰/۰۰۶	۰/۰۹۴±۰/۰۰۶
Coumaroyl	۰/۰۳۵۹۶±۰/۰۱۷	۰/۰۳۷۳۰±۰/۰۱۵	۰/۰۳۷۳۰±۰/۰۱۵	۰/۰۳۷۳۰±۰/۰۱۵	-	-	۰/۱۶۰±۰/۰۰۴	۰/۱۶۰±۰/۰۰۴
Petunidin Caffeoylglucoside	۰/۰	۰/۰	۰/۰	۰/۰	-	-	۰/۱۶۶±۰/۰۳۸	۰/۱۶۶±۰/۰۳۸

* میانگین ± انحراف میانگین



شکل شماره ۳- دندروگرام حاصل از آنالیز کلاستر ارقام انگور بر اساس فواصل اقلیدسی به دست آمده از ترکیبات آنتوسيانین (الف) و ترکیبات فلاونول (ب)

شناسایی شدند.

بررسی کمیت و کیفیت فلاونول‌ها

مقدار فلاونول کل در بین ارقام انگور مورد مطالعه از $0/42$ (سرخک) تا $0/67$ (انکورآب) میلی گرم در 100 گرم متفاوت بود (شکل شماره ۲). کوئرستین ترکیب فلاونولی غالب ($61/21$) درصد در آش سیاه شیراز تا $87/37$ درصد در رقموسکات هامبورگ) در تمام ارقام انگور مورد مطالعه بود (جدول شماره ۳). کوئرستین به دو فرم $3-A-$ گلوکورونید و $3-A-$ گلوکوزید وجود داشت که فرم گلوکورونید در بین انگورهای قرمز از $33/32$ درصد در آش سیاه شیراز تا $60/4$ درصد در موسکات هامبورگ و $60/4$ درصد در فخری قرمز متغیر بود. فرم گلوکوزید هم در بین این انگورها از $13/2$ درصد در فخری قرمز تا $38/7$ درصد در بیدانه قرمز متفاوت

در سرخک $92/23$ درصد از کل آنتوسيانین‌ها در آنتوسيانین‌های تری‌هیدروکسیله بویژه مالویدین ($87/69$ درصد) تشکیل دادند. در این رقم کمترین مقدار سیانیدین ($0/25$) و پئونیدین ($7/52$ درصد) مشاهده شد. برخلاف سایر زنوتیپ‌های مورد مطالعه که فرم $3-A-$ گلوکوزید رایج‌ترین فرم آنتوسيانین بود، در سرخک $3-A-$ کومارویل-گلوکوزید بیشترین فرم آنتوسيانین را تشکیل داد و فرم $11/73$ درصد نسبت به سایر ارقام بیشتر بود (جدول‌های شماره ۱ و ۲). این ویژگی‌ها رقم سرخک را در یک گروه مجزا قرار داد.

رقم بیدانه قرمز که در بین ارقام رنگی کمترین شدت رنگ را داشت، در دسته سوم قرار گرفت. این رقم کمترین مقدار آنتوسيانین کل را داشته و در آن فقط آنتوسيانین‌های دی‌هیدروکسیله (سیانیدین و پئونیدین) و تنها به فرم گلوکوزید



(به ترتیب ۲۱/۳۹ و ۱۹/۲۸ درصد) در یک زیرگروه و ارقام موسکات هامبورگ و انگورآب با دارا بودن بالاترین میزان کوئرستین (به ترتیب ۸۷/۳۷ و ۸۷/۲۵ درصد) در زیرگروه دوم قرار گرفتند. فخری قرمز و سرخک نیز که دارای مقدار میریستین نسبتاً بالا (به ترتیب ۱۲/۳۷ و ۱۳/۱۶ درصد) و همچنین دارای مقدار کوئرستین کمتری (به ترتیب ۷۳/۲۲ و ۶۲/۴۷ درصد) بودند، در دسته دوم قرار گرفتند. رقم آش سیاه شیراز به تنها یکی در گروه سوم قرار گرفت. این رقم دارای بیشترین مقدار میریستین (۲۸/۴ درصد) و کمترین کوئرستین (۶۱/۲۱ درصد) بود.

محاسبه فعالیت هیدروکسیلاسیون و متیلاسیون

در ارقام مورد مطالعه، فعالیت $F3'5'H$ و $5'OMT$ بر روی آنتوسبیانین ها در مقایسه با میزان فعالیت آنها بر روی فلاونول ها بیشتر بود چنانکه میانگین فعالیت بر آنتوسبیانین ها $5'OMT = 14/47$, $F3'5'H = 1/54$, $3'OMT = 7/11$ و میانگین فعالیت بر فلاونول ها $F3'5'H = 0/159$, $5'OMT = 0/050$. (جدول شماره ۴).

در هر دو مسیر (بیوستز آنتوسيانین و فلاونول)، فعالیت F3'5'H در رقم سرخک بالاترین مقدار (به ترتیب ۹/۹۳ = ۱ و ۰/۴۵ = ۱) محاسبه شد. فعالیت F3'5'H در انگورآب صفر و در بیدانه قرمز تنها در مسیر ستر فلاونول به مقدار ناچیز تخمین زده شد. فعالیت بالای F3'5'H منجر به آبی تر شدن سرخک و فعالیت کم آن منجر به قرمز رنگ پریده شدن بیدانه قرمز می‌شود.

در مسیر بیوستز آنتوسبیانین‌ها، فعالیت OMT'3 در فخری قرمز بسیار بالا بود ($I=25/48$) که منجر به متیلاسیون سیانیدین و تولید پتونیدین به مقدار قابل ملاحظه‌ای شد. بالعکس، فعالیت OMT'3 در بیدانه قرمز بسیار کم ($I=90/0$) بوده و سیانیدین، آنتوسبیانین غالب در این رقم بود. فعالیت OMT'5 در مسیر بیوستز آنتوسبیانین‌ها، در رقم سرخک بالاترین مقدار را داشت که نتیجه آن تولید میزان بالای مالولیدین بود. در بیدانه قرمز فعالیت OMT'5 صفر تخمین زده شد. در این رقم هیچ یک از آنتوسبیانین‌های تری‌هیدروکسیله شناسایی نشد.

میریستین ۳-۱- گلوکوزید در رقم آش سیاه شیراز در بالاترین غلظت (۲۸/۴ درصد) حضور داشت، در حالی که در رقم بیانه قرمز مقدار جزئی (۰/۲۲ درصد) بوده و در انگورآب اصلاً شناسایی نشد. کامفرول به دو فرم ۳-۱- گلوکوزید و فرم ۳-۳- کافثولیت مورد بررسی قرار گرفت که بیشترین مقدار آن ۲۱/۳۹ درصد در رقم فلیم سیدلیس (به ترتیب ۴/۵۱ درصد و ۱۶/۸۸ درصد) بود. در حالی که در سرخک تنها به فرم ۳-۳- کافثولیت (۳/۸۶ درصد) بوده و در فخری قرمز اصلاً شناسایی نشد. در انگورآب نیز کامفرول به دو فرم ۳-۱- گلوکوزید و فرم ۳-۳- کافثولیت به ترتیب به مقدار ۲/۷۲ و ۱۰/۰۲ درصد حضور داشت (جدول شماره (۳)). اینورامتن ۳-۱- گلوکوزید در انگورآب (سیز مایا، به زرد)

شناسایی نشد و بیشترین و کمترین آن در انگورهای قرمز به ترتیب در ارقام فخری قرمز (۱۴/۴۱) و درصد) و فلیم سیدلیس (۱۴/۰ درصد) مشاهده شد. سیرینجتین ۳-آ- گالاکتوزید نیز در هیچ یک از ارقام مورد مطالعه حضور نداشت (جدول شماره ۳). گروه‌بندی بر اساس ترکیبات فلاونولی، ارقام مورد مطالعه را در سه دسته کلی قرار داد (شکل شماره ۳ - ب). در دسته اول ارقام فلیم سیدلیس، بیدانه قرمز، موسکات هامبورگ و انگورآب قرار گرفتند که دارای بالاترین مقدار کوئرستین و کمترین مقدار میریستین و ایزورامتین بودند. از این ارقام فلیم سیدلیس و بیدانه قرمز که دارای بالاترین میزان کامفرول بودند

محصول متیلاسیون کوئرستین در موقعیت 3' می باشد، مشاهده نشد. در ارقام مورد مطالعه در مسیر ستر فلاونول ها هیچ گونه فعالیت OMT⁵ وجود نداشت.

در مسیر بیوستر فلاونول ها در ارقام قرمز رنگ، فعالیت 3'OMT و در نتیجه تولید ایزورامتین در فخری قرمز بیشترین (۰/۰۱۹۷) و در فلیم سیدلس کمترین (۰/۰۰۰۲) بود. در انگورآب فعالیت OMT³ صفر بوده و ایزورامتین، که

جدول شماره ۳- مقادیر فلاونول های مختلف (دودص) در بین ارقام مورد مطالعه انگور

نوع فلاونول	ردیف	نام	نحوه خوش	قلم مدلس	پیداه قمز	موسکات	انگور آب	آنچه میباشد	نخنی قرمز
Myricetin-3-O-glucoside	۱	۱۳۷/۱۹±۰/۸۱*	۱/۱/۱±۰/۰/۳	۱/۱/۱±۰/۰/۰	۰/۰/۲۲±۰/۰/۱	۰/۰/۰±۰/۰/۰/۵	۰/۰	۰/۰/۰±۰/۰/۰/۳*	۰/۰/۰±۰/۰/۰/۷
Quercetin-3-O-glucuronide	۲	۱۵/۲/۲۲±۰/۱/۱	۲۴/۱/۰±۰/۰/۱	۲/۱/۰/۲±۰/۰/۰	۰/۰/۰±۰/۰/۰/۷	۰/۰/۰±۰/۰/۰/۱	۰/۰/۰±۰/۰/۰/۱	۰/۰/۰±۰/۰/۰/۱۳	۰/۰/۰±۰/۰/۰/۳۰
Quercetin-3-O-glucoside	۳	۱/۷/۰±۰/۰/۸	۳۷/۰/۰±۰/۰/۱	۳/۷/۰/۰±۰/۰/۱	۰/۰/۰±۰/۰/۰/۲	۰/۰/۰±۰/۰/۰/۱۲	۰/۰/۰±۰/۰/۰/۱۴	۰/۰/۰±۰/۰/۰/۱۸	۰/۰/۰±۰/۰/۰/۴۰
Laricitrin-3-O-galactoside	۴	۰/۰/۰±۰/۰/۰/۹	۰/۰	۰/۰/۰±۰/۰/۰/۰	۰/۰/۰±۰/۰/۰/۰	۰/۰/۰±۰/۰/۰/۰/۵	۰/۰	۰/۰/۰±۰/۰/۰/۰/۷	۰/۰/۰±۰/۰/۰/۰
Kaempferol-3-O-glucoside	۵	۰/۰/۰±۰/۰/۰/۰	۰/۰/۰±۰/۰/۰/۰	۰/۰/۰±۰/۰/۰/۰	۰/۰/۰±۰/۰/۰/۰/۱	۰/۰/۰±۰/۰/۰/۰/۸	۰/۰/۰±۰/۰/۰/۰/۱	۰/۰/۰±۰/۰/۰/۰/۱	۰/۰/۰±۰/۰/۰/۰/۱۲
Laricitrin-3-O-thamnose-7-O-trihydroxycinnamic acid	۶	۱۳/۷/۰±۰/۰/۹	۰/۰	۰/۰	۰/۰	۰/۰	۰/۰	۰/۰	۰/۰/۰±۰/۰/۰/۰
Kaempferol-3-O-caffeylate	۷	۰/۰/۰±۰/۰/۰/۱	۰/۰/۰±۰/۰/۰/۰	۰/۰/۰±۰/۰/۰/۰	۰/۰/۰±۰/۰/۰/۰/۴	۰/۰/۰±۰/۰/۰/۰/۴	۰/۰/۰±۰/۰/۰/۰/۳	۰/۰/۰±۰/۰/۰/۰/۹	۰/۰/۰±۰/۰/۰/۰
Isorhamnetin-3-O-glucoside	۸	۰/۰/۰±۰/۰/۰/۰	۰/۰/۰±۰/۰/۰/۰	۰/۰/۰±۰/۰/۰/۰/۰	۰/۰/۰±۰/۰/۰/۰/۰/۳	۰/۰/۰±۰/۰/۰/۰/۰/۱	۰/۰/۰±۰/۰/۰/۰/۰/۰	۰/۰/۰±۰/۰/۰/۰/۰/۰/۸	۰/۰/۰±۰/۰/۰/۰/۰/۱۲
Syringetin-3-O-galactoside	۹	۰/۰/۰±۰/۰/۰/۰	۰/۰	۰/۰	۰/۰	۰/۰	۰/۰	۰/۰	۰/۰/۰±۰/۰/۰/۰

* میانگین ± انحراف معیار



جدول شماره ۴- تخمین فعالیت هیدروکسیلاسیون و متیلاسیون در بیوستز آنتوسیانین‌ها و فلاونول‌ها در بین ارقام مختلف انگور

رقم	بیوستز فلاونول			بیوستز آنتوسیانین		
	فعالیت F3'5'H	فعالیت 3'OMT	فعالیت 5'OMT	فعالیت F3'5'H	فعالیت 3'OMT	فعالیت 5'OMT
سرخک	۰/۴۵۱	۰/۰۵۷	۰/۰	۹/۹۳	۱۱/۸۲	۱۷/۷۰
فلیم سیدلیس	۰/۰۱۴	۰/۰۰۲	۰/۰	۰/۸۱	۳/۶۷	۵/۸۲
بیدانه قرمز	۰/۰۰۵	۰/۰۰۵	۰/۰	۰/۰	۰/۰۹	۰/۰
موسکات	۰/۰۶۲	۰/۰۱۶	۰/۰	۱/۲۹	۳/۷۰	۱۴/۲۳
انگور آب	۰/۰	۰/۰	۰/۰	۰/۰	۰/۰	۰/۰
آش سیاه	۰/۴۴۲	۰/۰۷۲	۰/۰	۰/۲۴	۱۲/۲۸	۱۱/۶۶
فخری قرمز	۰/۱۴۱	۰/۱۹۷	۰/۰	۰/۰۷	۸۴/۲۵	۰/۰
میانگین	۰/۱۵۹	۰/۰۵۰	۰/۰	۱/۵۴	۱۴/۴۷	۷/۱۱

بحث

بررسی کمیت و کیفیت آنتوسیانین‌ها

اظهار شده است. در رقم بیدانه قرمز تنها آنتوسیانین‌های با فرم گلوكوزید دی‌هیدروکسیله (مشتق شده از سیانیدین) یافت شد. ماتیوی و همکاران [۹] پیشنهاد دادند که ارقامی مانند شادونی (matyivi) و همکاران [۹] مشتق شده از طیف آنتوسیانین آنها (pink Chardonnay) صورتی که در طیف آنتوسیانین آنها غالباً مشتقات سیانیدین یافت می‌شود، از انگورهای سفید منشأ می‌گیرند. بر این اساس، می‌توان گفت انگور بیدانه قرمز از انگورهای سفید منشأ گرفته است.

در ارقامی مانند بیدانه قرمز به رنگ قرمز روشن، فخری قرمز به رنگ قرمز تیره و آش سیاه شیراز به رنگ قرمز سیاه، آنتوسیانین‌های سیانیدین و پئونیدین (دی‌هیدروکسیله) بیشترین مقدار را نشان دادند. در حالی که، در سرخک (آبی تیره)، موسکات هامبورگ (قرمز مایل به بنفش تیره) و رقم فلیم سیدلیس (قرمز مایل به بنفش متوسط) آنتوسیانین‌های تری‌هیدروکسیله به ترتیب ۹۲/۲۳ و ۵۶/۳۵ و ۴۴/۲۳ درصد را به خود اختصاص دادند. کوبایاشی (Kobayashi) و همکاران [۲۴] گزارش کردند که آنتوسیانین‌های مشتق شده از سیانیدین رنگ قرمز را ایجاد می‌کنند، در حالی که آنتوسیانین‌های مشتق شده از دلفینیدین منجر به ایجاد رنگ آبی در جبهه‌ها می‌شوند. در این تحقیق فرم گلوكوزید رایج ترین فرم آنتوسیانین در ارقام مورد مطالعه بود و تنها در سرخک کومارویل-گلوكوزید بیشترین فرم آنتوسیانین را تشکیل داد. پومار (Pomar) و همکاران (۲۰۰۵) [۲۵] در مطالعه محتوای آنتوسیانین‌های ۵۰ رقم انگور گزارش کردند که فرم گلوكوزید فرم غالب در اکثر

در این مطالعه محتوا و ترکیب آنتوسیانین‌ها و فلاونول‌های چند رقم انگور که دارای طیف رنگی متفاوت می‌باشند، با استفاده از HPLC مورد بررسی قرار گرفت. انگور و فراورده‌های آن متابع مهم آنتوسیانین‌ها و فلاونول‌ها در رژیم غذایی هستند. این ترکیبات دارای اثرات دارویی متنوع از جمله آنتی‌اکسیدانی هستند. چنانکه ثابت شده است آب انگور قرمز اثر بازدارنده‌ی بر اکسیداسیون لیپو پروتئین‌های با چگالی کم دارد [۲۰]. افرادی که مرتب در رژیم غذایی از انگور استفاده می‌کنند از نظر شرایط اکسیداتیو در بافت‌های بدن تفاوت قابل توجهی با سایر افراد دارند [۲۱]. در انگورهای مورد مطالعه، مقدار آنتوسیانین کل ارتباط بالایی با رنگ ارقام داشت. مطالعات نشان داده که محتوای آنتوسیانین کل، همبستگی بالایی با بیان تجمعی ژن‌های *UGT F3'H* و *GST UFGT* دارد. دو ژن *UGT* و *GST* در انگورهای سفید بیان نمی‌شوند و حداقل ۱۰ برابر کمتر در ارقام قرمز رنگ پریده در مقایسه با ارقام کاملاً قرمز بیان می‌شوند [۲۲]. ماتیوی (Mattivi) و همکاران [۹] در تکمیل مطالعات باس (Boss) و همکاران [۲۳]، نتیجه گرفتند که برخی ارقام صورتی انگور موتاسیون‌های حاصل از ارقام قرمز و برخی دیگر موتاسیون‌های حاصل از ارقام سفید می‌باشند. این نظریه بر اساس شباهت طیف آنتوسیانین‌های این ارقام با ارقام اولیه

تغذیه‌ای – دارویی آن بیشتر به صورت تازه خوری مطرح می‌باشد [۳].

کامفرول به فرم کافولیت در دو رقم فلیم سیدلیس و بیدانه قرمز به غلظت بالاتر مشاهده شد. این ترکیب از طریق جلوگیری از اکسیداسیون لیپو پروتئین‌های کم چگالی و تشکیل پلاکت درخون از گرفتگی عروق (arteriosclerosis) و همچنین از اکسیداسیون LDL جلوگیری می‌کند [۳]. همچنین ثابت شده است که این ترکیب برای افراد در معرض خطر سرطان مفید می‌باشد [۲۹]. ایزورامتین که در انگور فخری قرمز در غلظت بالاتر مشاهده شد، در پیشگیری از تشکیل غدد چربی در بدن و چاقی نقش مؤثری دارد [۳۰]. در این تحقیق، در انگورآب (سبز مایل به زرد) تنها کوئرستین ۸۷/۲۵ درصد) و کامفرول (۱۲/۷۵ درصد) شناسایی شد. بر اساس گزارش‌های موجود، در انگورهای سفید فلاونول‌های شبه دلفینیدین (میریستین، لاریسیترین، سیرینجتین) به دلیل عدم بیان ژن F3'5'H وجود ندارند [۹، ۳۱].

بررسی فعالیت هیدروکسیلاسیون و متیلاسیون

بررسی میزان هیدروکسیلاسیون و متیلاسیون در ارقام مورد مطالعه نشان داد که فعالیت F3'5'H، F3'OMT و 5'OMT بر روی آنتوسیانین‌ها از فلاونول‌ها بیشتر است که می‌تواند ناشی از تمایل بالاتر این آنزیمهای به سوبستران (substrate specificity) آنتوسیانینی باشد که این تفاوت در مورد فعالیت F3'OMT و 5'OMT بسیار چشمگیرتر است. ماتیوی و همکاران [۹] نیز در مطالعه ۹۱ رقم انگور گزارش کردند که برای فعالیت هیدروکسیلاسیون و متیلاسیون، آنتوسیانین‌ها سوبستران‌های خیلی بهتری نسبت به فلاونول‌ها هستند. مالویدین ۳-آ-گلوکوزید پایدارترین و فراوان‌ترین آنتوسیانین در بیشتر انگورهای قرمز می‌باشد [۳۲]. در این مطالعه نیز، میزان مالویدین در بین آنتوسیانین‌های تری‌هیدروکسیله به طور قابل توجهی بالاتر از دلفینیدین و پتونیدین بود و دلفینیدین در ارقام مورد بررسی، به غیر از فخری قرمز، کمترین میزان را داشت.

ارقام (به جز یک رقم) می‌باشد. در رقم مستثنی، فرم پارا-کوماریت بیشترین بخش محتوای آنتوسیانینی را به خود اختصاص داده بود.

در انگورآب همان‌طور که انتظار می‌رفت هیچ نوع آنتوسیانینی یافت نشد. در انگورهای سفید عدم فعالیت و بیان دو فاکتور رونویسی *VvMYBA1* و *VvMYBA2* که در کنترل بیان ژن *VvUGT* نقش دارند، منجر به تولید نشدن آنتوسیانین می‌شود [۲۶]. کوبایاشی و همکاران [۲۷] اضافه شدن یک رتروترنسپوزون (retrotransposon) درون ژن *VvMYBA1* را علت غیرفعال شدن آن ذکر کردند.

بررسی کمیت و کیفیت فلاونول‌ها

دو فرم ۳-آ-گلوکورونید و ۳-گلوکوزید کوئرستین، فلاونول‌های غالب در پوست جهه‌های انگور می‌باشند [۱۰، ۱۱]. در این تحقیق نیز کوئرستین ترکیب فلاونولی غالب در تمام ارقام انگور مورد مطالعه بود (جدول شماره ۳). جونگ (Jeong) و همکاران [۲۸] بیان کردند که آنزم فلاونول سیستاز در انگور بر دی‌هیدروکوئرستین نسبت به دی‌هیدروکامفرول و دی‌هیدرومیریستین بسیار اختصاصی‌تر عمل می‌کند که این امر به تجمع کوئرستین حتی در ارقامی که سطح بالایی از بیان F3'5'H را دارند، منجر می‌شود. هر دو فرم گلوکورونید و گلوکوزید کوئرستین نقش اساسی در پایداری رنگ و ویژگی‌های مطلوب ارگانولوپتیکی آب انگور و سایر فراورده‌های آن دارند. این ترکیبات همچنین با دارا بودن اثرات مفید بر سلامت، نقش مهمی به عنوان غذادارو (nutraceutical) دارند [۳].

همان‌طور که در این تحقیق مشاهده شد، در مطالعه ماتیوی و همکاران [۹] نیز کوئرستین، میریستین و ایزورامتین در همه ارقام پوست قرمز حضور داشتند و به طور مشابه با بیدانه قرمز، میریستین در ارقام صورتی رنگ تنها به مقدار کم مشاهده شده است. در این مطالعه مقدار میریستین متناسب با کاهش شدت رنگ از آش سیاه شیراز تا بیدانه قرمز به تدریج کاهش یافت. میریستین ترکیبی است که طی فراوری انگور هیدرولیز شده و مقدار آن کاهش می‌یابد، بنابراین اثرات



معمول با محتوای آنتوسیانین و فلاونول آنها کاملاً منطبق نیست. این امر به دلیل حضور ترکیبات فلزی متعدد دیگر در این عصاره می‌باشد [۳۳].

علاوه بر خاصیت آنتیاکسیدانی، خواص دارویی متعدد دیگری برای انگور گزارش شده است. در مطالعه کریری (Carrieri) و همکاران [۳۴] مشخص شد که ارقام انگوری که دارای مقادیر بالاتری از کوئرستین و سیانیدین هستند، فعالیت ضدانعقادی (Antithrombotic activity) بالاتری از خود نشان می‌دهند. با این حال هر یک از این ترکیبات به تنها یی فعالیت چندانی نشان ندادند، بلکه عصاره تام انگور که غنی از دو ترکیب ذکر شده و شامل سایر ترکیبات نیز بود بیشترین اثر را نشان داد. این امر ثابت می‌کند که علاوه بر نقش هر یک از ترکیبات، اثر هم‌افزایی بین ترکیبات موجود در عصاره ممکن است در بروز اثرات دارویی نقش بالاتری داشته باشد.

نتیجه‌گیری

ارقام انگور مورد مطالعه از نظر محتوا، نوع و نسبت آنتوسیانین‌ها و فلاونول‌ها و الگوی هیدروکسیلابیون و متیلاسیون آنها متفاوت بودند. این امر منجر به تفاوت در ارزش غذایی - دارویی و بویژه اثرات آنتیاکسیدانی، پایداری، حلایت و ویژگی‌های رنگ آنها می‌شود. اثرات مفید دارویی انگور طیف متنوعی را شامل می‌شود به همین دلیل بسته به نوع اثر مورد انتظار باید بررسی‌های لازم در این زمینه به عمل آید تا مشخص شود که چه ترکیباتی در ایجاد اثر دارویی مدنظر نقش بیشتری دارند و در نتیجه رقم مناسب جهت استفاده تعیین شود.

به طورکلی در مسیر بیوسنتری فلاونول‌ها فعالیت متیلاسیون پایین‌تر از هیدروکسیلابیون در این مسیر است. به همین دلیل فرم‌های هیدروکسیلابیله فلاونول‌ها (کوئرستین و میریستین) نسبت به فرم‌های متیله آنها (ایزورامتنین، لاریسیترین و سیرینجتین) غالب هستند [۹]. در این مطالعه نیز میانگین کوئرستین (۷۵/۵۷ درصد) و میریستین (۸/۵۹) بیشتر از ایزورامتنین (۲/۴۹ درصد)، لاریسیترین (۲/۵۹ درصد) و سیرینجتین (صفر) در ارقام مورد مطالعه بود.

در مسیر بیوسنتر فلاونول‌ها در نتیجه فعالیت OMT³ در ارقام فخری قرمز و فلیم سیدلین، ایزورامتنین تولید می‌شود. در هر دو این ارقام لاریسیترین که حاصل متیلاسیون میریستین در موقعیت ۳' است، تولید نمی‌شود. شاید بتوان گفت که برای متیلاسیون، ۲ یا چند ژن پارالوگ کنترل کننده مسیر بیوسنتر فلاونول‌ها موجود است که هر کدام سویسترا انتصاصی خود را دارند و در این دو رقم تنها فرمی که به صورت اختصاصی بر روی کوئرستین عمل می‌کند وجود دارد یا بیان می‌شود. در انگورآب فعالیت OMT³ و تولید ایزورامتنین برخلاف آنچه در ارقام سفید دیگر گزارش شده [۹] مشاهده نشد.

فعالیت آنتیاکسیدانی فلاونوئیدها به گروه‌های هیدروکسیل نسبت داده می‌شود که با افزایش تعداد گروه‌های هیدروکسیل در موقعیت ۳' و ۵' حلقه B افزایش می‌یابد [۲]. البته آنتوسیانین‌های پتونیدین، دلفینیدین و سیانیدین دارای بخش کاتکول آزاد (Free catechol) (نه متیله) در ساختارشان هستند و بطورکلی فعالیت آنتیاکسیدانی بالاتری از مالویدین‌ها، با یک گروه هیدروکسیل آزاد، دارند [۲]. با این حال فعالیت آنتیاکسیدانی عصاره تام (Total extract) انگور به طور

منابع

- Kennedy JA. Grape and wine phenolics: observations and recent findings. *Cien. Inv. Agr.* 2008; 35: 107 - 20.
- Iriti M and Faoro F. Bioactive Chemicals and Health Benefits of Grapevine Products. In: Watson RR and Preedy VR. *Bioactive Foods in Promoting*
- Health: Fruits and Vegetables. Academic Press, Amsterdam. 2009, pp: 581 - 621.
- De Nisco M, Manfra M, Bolognese A, Sofo A, Scopa A, Tenore GC, Pagano F, Milite C and Russo MT. Nutraceutical properties and polyphenolic profile of berry skin and wine of *Vitis*

- vinifera* L. (cv. Aglianico). *Food Chem.* 2013; 140: 623 - 29.
- 4.** Clarke RJ and Bakker J. Basic Taste, Stimulant and other Constituents of Wines. In: Bakker J and Clarke RJ. *Wine Flav. Chem.* Blackwell Publishing UK. 2004, pp: 66 - 119.
- 5.** Vermerris W and Nicholson R. Phenolic compound biochemistry. 2nd ed. Springer, New York. 2007, pp: 1 - 32.
- 6.** Sarni P, Fulcrand H, Souillol V, Souquet JM and Cheynier V. Mechanisms of anthocyanin degradation in grape must-like model solutions. *J. Sci. Food Agr.* 1995; 69: 385 - 91.
- 7.** Forkmann G. Flavonoids as flower pigments: the formation of the natural spectrum and its extension by genetic engineering. *Plant Breed.* 1991; 106: 1 - 26.
- 8.** Winkel-Shirley B. Flavonoid biosynthesis: a colorful model for genetics, biochemistry, cell biology, and biotechnology. *Plant Physiol.* 2001; 126: 485 - 93.
- 9.** Mattivi F, Guzzon R, Vrhovsek U, Stefanini M and Velasco R. Metabolite profiling of grape: flavonols and anthocyanins. *J. Agric. Food Chem.* 2006; 54: 7692 - 702.
- 10.** Cheynier V and Rigaud J. HPLC separation and characterization of flavonols in the skin of *Vitis vinifera* var. *cinsault*. *Am. J. Enol. Vitic.* 1986; 37: 248 - 52.
- 11.** Price SF, Breen PJ, Valladao M and Watson BT. Cluster sun exposure and quercetin in Pinot noir grapes and wine. *Am. J. Enol. Vitic.* 1995; 46: 187 - 94.
- 12.** Downey MO, Harvey JS and Robinson SP. The effect of bunch shading on berry development and flavonoid accumulation in Shiraz grapes. *Aust. J. Grape Wine R.* 2004; 10: 55 - 73.
- 13.** Castillo-Muñoz N, Gómez-Alonso S, García-Romero E and Hermosín-Gutiérrez I. Flavonol profiles of *Vitis vinifera* red grapes and their single-cultivar wines. *J. Agric. Food Chem.* 2007; 55: 992 - 1002.
- 14.** Cook-Papini P, Mazza G, Gatti M and Bavaresco L. Anthocyanin and aroma profiling of the 'Albarossa' grapevine crossbreed (*Vitis vinifera* L.) and its parent varieties 'Barbera' and 'Nebbiolo di Dronero'. *Vitis* 2010; 49: 121 - 127.
- 15.** IPGRI, UPOV, OIV. Descriptors for Grapevine (*Vitis* spp.). International union for the protection of new varieties of plants, Geneva, Switzerland, 1997.
- 16.** Downey MO, Mazza M and Krstic MP. Development of a stable extract for anthocyanins and flavonols from grape skin. *Am. J. Enol. Vitic.* 2007; 58: 358 - 364.
- 17.** Downey MO and Rochfort S. Simultaneous separation by reversed-phase high -performance liquid chromatography and mass spectral identification of anthocyanins and flavonols in Shiraz grape skin. *J. Chromatogr. A.* 2008; 1201: 43 - 7.
- 18.** Mabry TJ, Markham KR and Thomas MB. The Systematic Identification of Flavonoides. Springer, New York. 1970, 354 p.
- 19.** Wulf LW and Nagel CW. High-Pressure Liquid Chromatographic Separation of Anthocyanins of *Vitis vinifera*. *Am. J. Enol. Vitic.* 1978; 29: 42 - 9.
- 20.** Frankel EN, Bosanek CA, Meyer AS, Silliman K and Kirk LL. Commercial grape juices inhibit the in vitro oxidation of human low-density lipoproteins. *J. Agric. Food Chem.* 1998; 46: 834 - 38.
- 21.** Hassimotto NMA and Lajolo FM. Antioxidant status in rats after longterm intake of anthocyanins and ellagitannins from blackberries. *J. Sci. Food Agr.* 2011; 91: 523 - 31.
- 22.** Castellarin S. D. and Di Gaspero G. Transcriptional control of anthocyanin biosynthetic genes in extreme phenotypes for berry pigmentation of naturally occurring grapevines. *BMC Plant Biol.* 2007; 7: 46.
- 23.** Boss PK, Davies C and Robinson SP. Anthocyanin composition and anthocyanin pathway gene expression in grapevine sports



- differing in berry skin colour. *Aust. J. Grape Wine R.* 1996; 2: 163 - 70.
- 24.** Kobayashi H, Suzuki S, Tanzawa F and Takayanagi T. Low expression of Flavonoid 3', 5' -hydroxilase (F3',5' H) Associated with Cyanidin-based Anthocyanins in grape Leaf. *Am. J. Enol. Vitic.* 2009; 60: 362 - 67.
- 25.** Pomar F, Novo M and Masa A. Varietal differences among the anthocyanin profiles of 50 red table grape cultivars studied by high performance liquid chromatography. *J. Chromatogr. A.* 2005; 11: 34 - 41.
- 26.** Walker AR, Lee E, Bogs J, McDavid DAJ, Thomas MR and Robinson SP. White grapes arose through the mutation of two similar and adjacent regulatory genes. *Plant J.* 2007; 49: 772 - 85.
- 27.** Kobayashi S, Goto-Yamamoto N and Hirochika H. Retrotransposon- induced mutations in grape skin color. *Science* 2004; 304: 982.
- 28.** Jeong ST, Goot-Yamamoto N, Hashizume K and Esaka M. Expression of the flavonoid 3'-hydroxylase and flavonoid-hydroxylase genes and flavonoid composition in grape (*Vitis vinifera*). *Plant Sci.* 2006; 170: 61 - 9.
- 29.** Zhang Y, Chen AY, Li M, Chen C and Yao Q. *Ginkgo biloba* extract kaempferol inhibits cell proliferation and induces apoptosis in pancreatic cancer cells. *J. Surg. Res.* 2008; 148: 17 - 23.
- 30.** Lee J, Jung E and Lee J. Isorhamnetin represses adipogenesis in 3T3-L1 cells. *Obesity* 2009; 17: 226 - 32.
- 31.** Bogs J, Ebadi A, McDavid D and Robinson SP. Identification of the flavonoid hydroxylases from grapevine and their regulation during fruit development. *Plant Physiol.* 2006; 140: 279 - 91.
- 32.** Mori K, Goto-Yamamoto N, Kitayama M and Hashizume K. Loss of anthocyanins in red-wine grape under high temperature. *J. Exp. Bot.* 2007; 58: 1935 - 45.
- 33.** Kallithraka S, Mohdalya AA, Makrisb DP, Kefalas P. Determination of major anthocyanin pigments in Hellenic native grape varieties (*Vitis vinifera* sp.): association with antiradical activity. *J. Food Comp. Anal.* 2005; 18: 375 - 86.
- 34.** Carrieri C, Milella RA, Incampo F, Crupi P, Antonacci D, Semeraro N and Colucci M. Antithrombotic activity of 12 table grape varieties. Relationship with polyphenolic profile. *Food Chem.* 2013; 140: 647 - 53.

